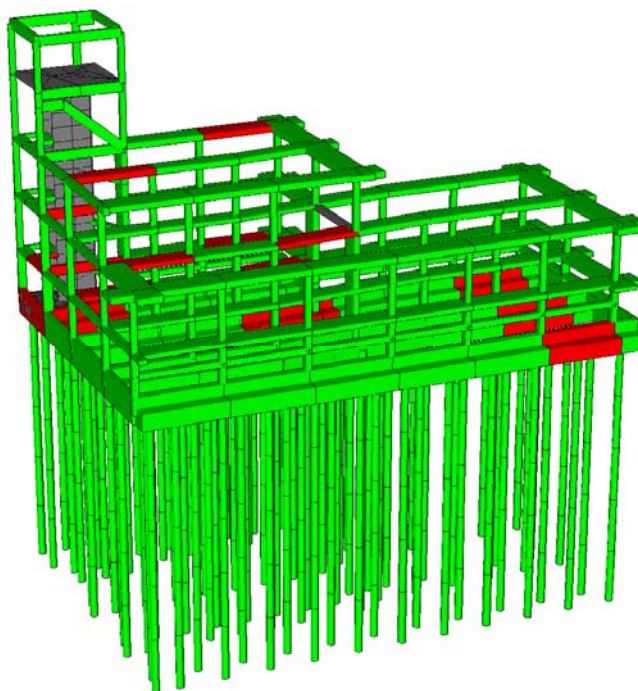
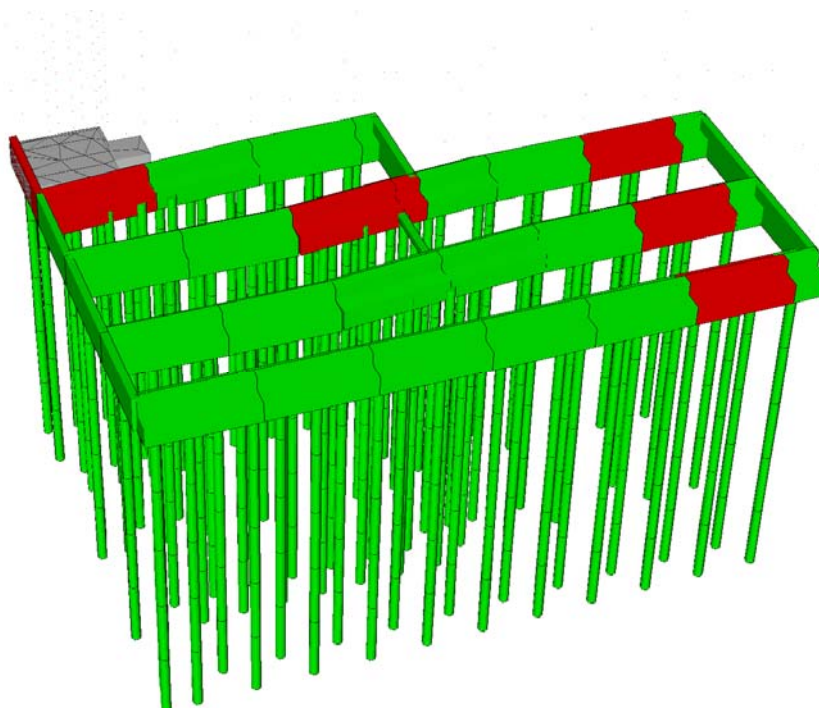


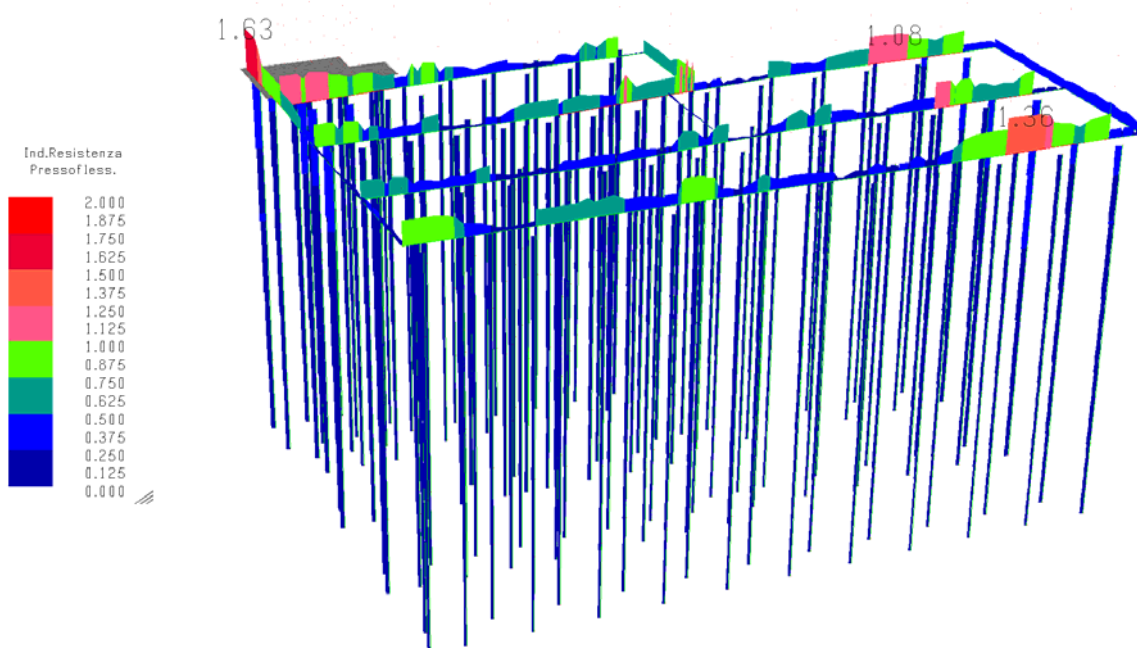
CORPO 1: elementi rossi non verificati per le condizioni statiche slu



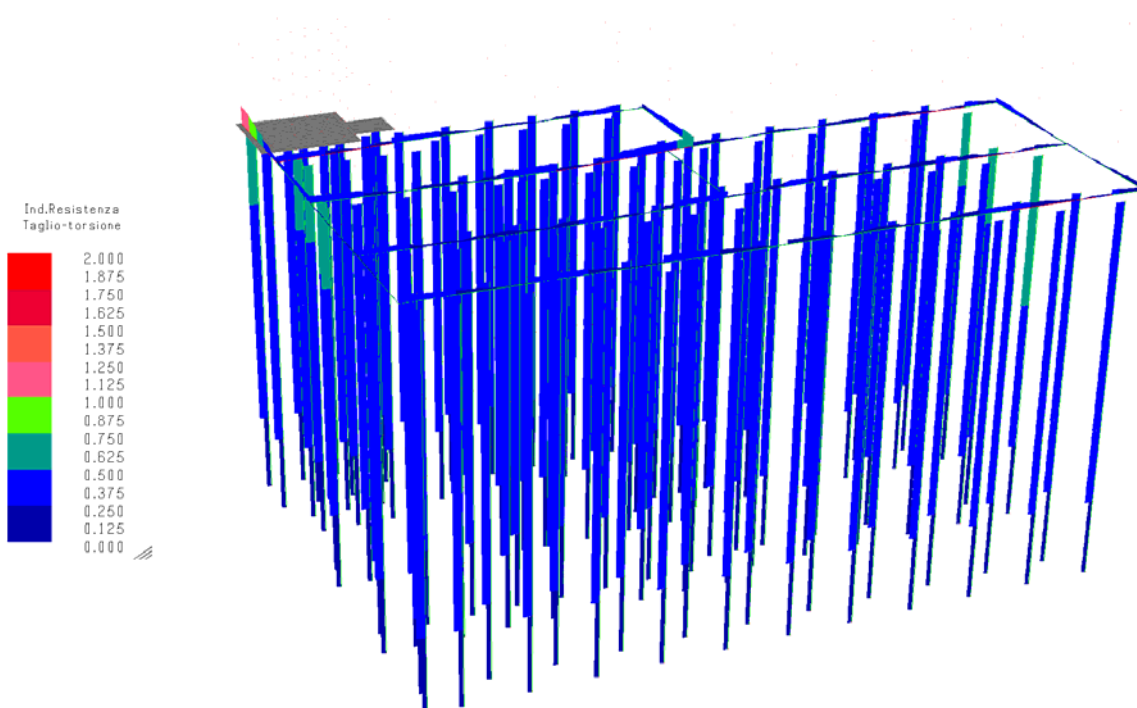
CORPO 1: elementi rossi di dettaglio fondazione non verificati per le condizioni statiche slu



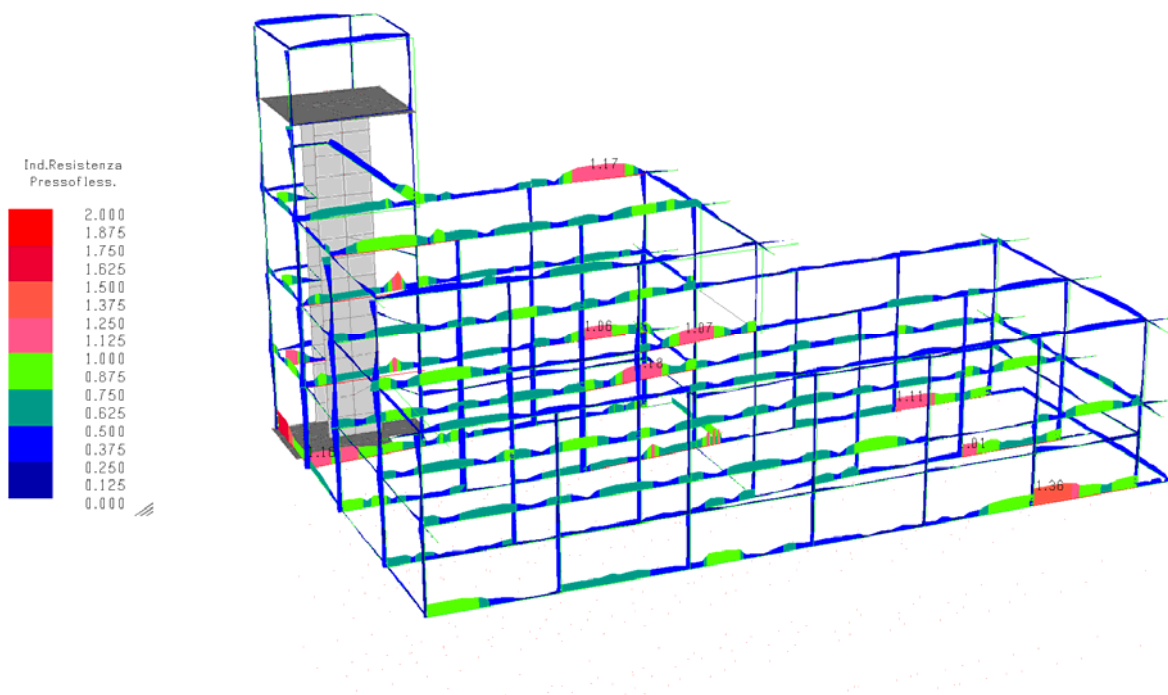
CORPO 1: indici di resistenza a pressoflessione condizioni statiche slu: fondazione e pali



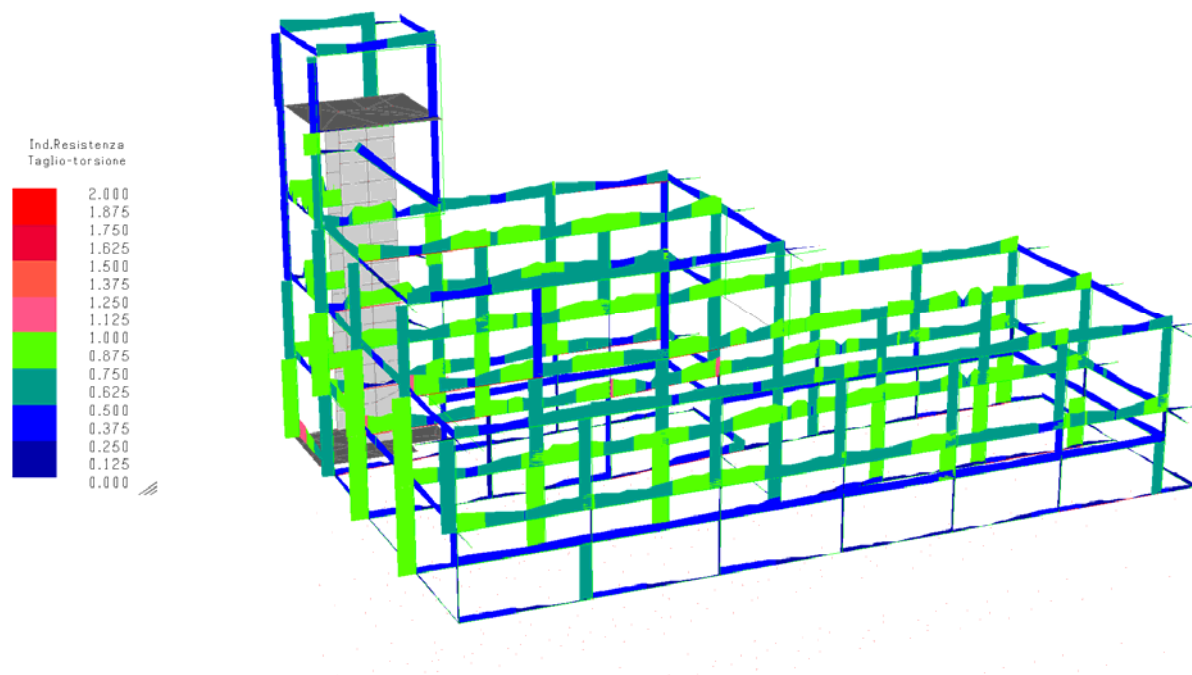
CORPO 1: indici di resistenza a taglio-torsione condizioni statiche slu: fondazione e pali



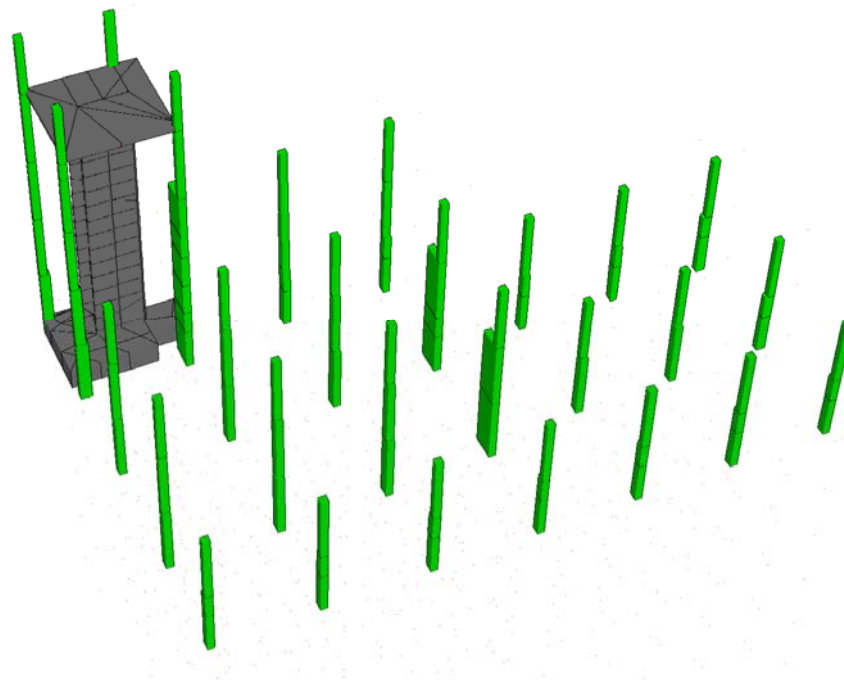
CORPO 1: indici di resistenza a pressoflessione condizioni statiche slu: elevazione



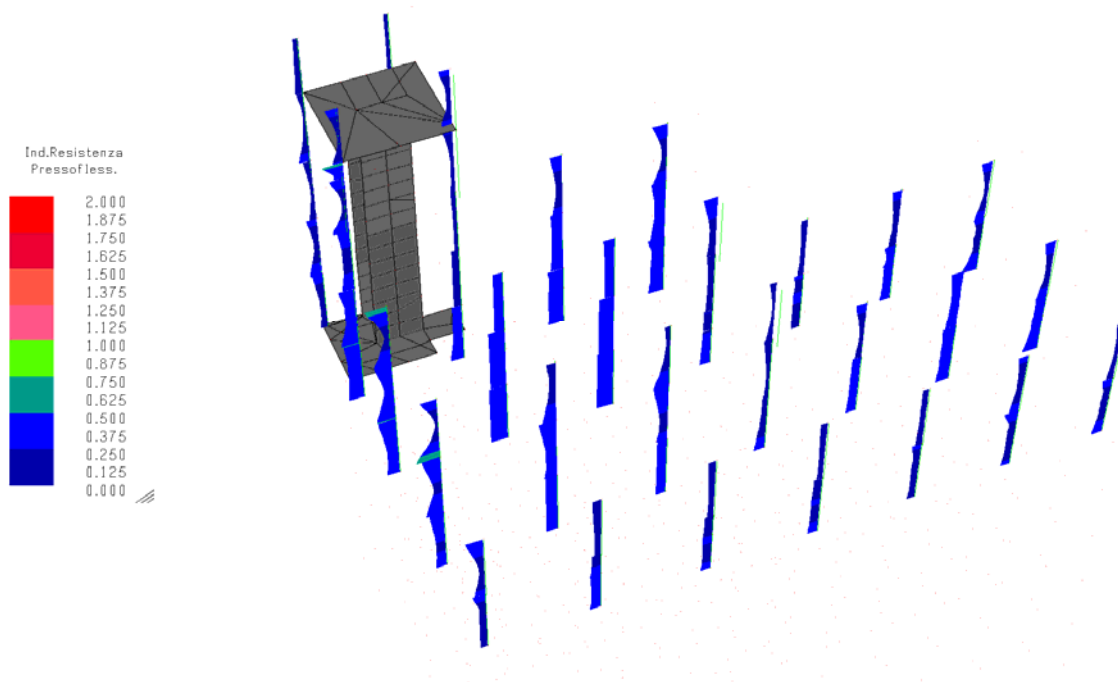
CORPO 1: indici di resistenza a taglio-torsione condizioni statiche slu: elevazione



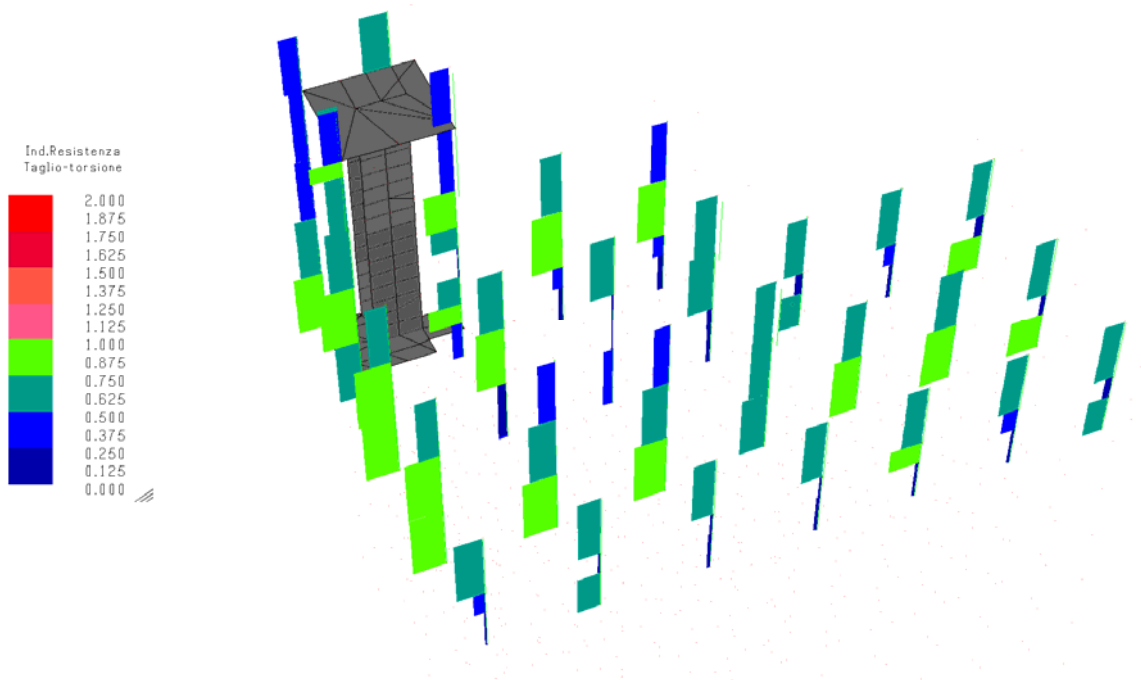
CORPO 1: elementi di dettaglio pilastri verificati per le condizioni statiche slu



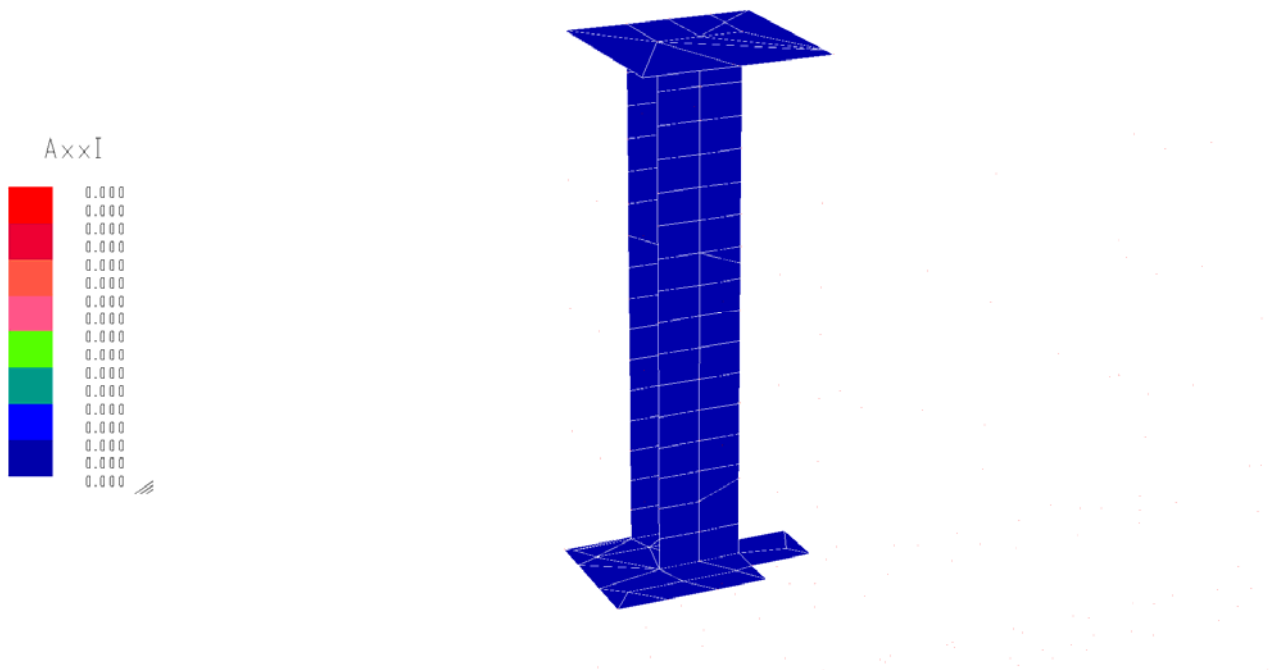
CORPO 1: indici di resistenza di dettaglio a pressoflessione dei pilastri condizioni statiche slu



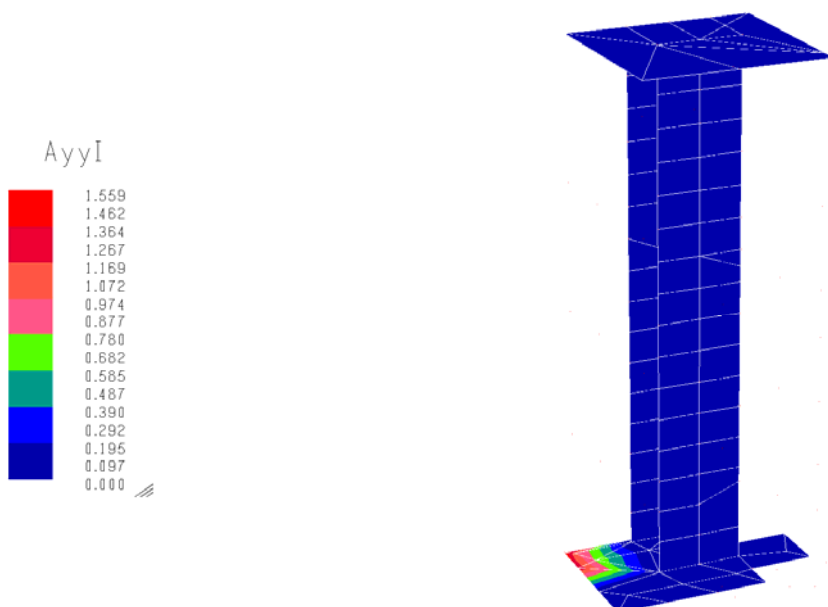
CORPO 1: indici di resistenza di dettaglio a taglio-torsione dei pilastri condizioni statiche sl



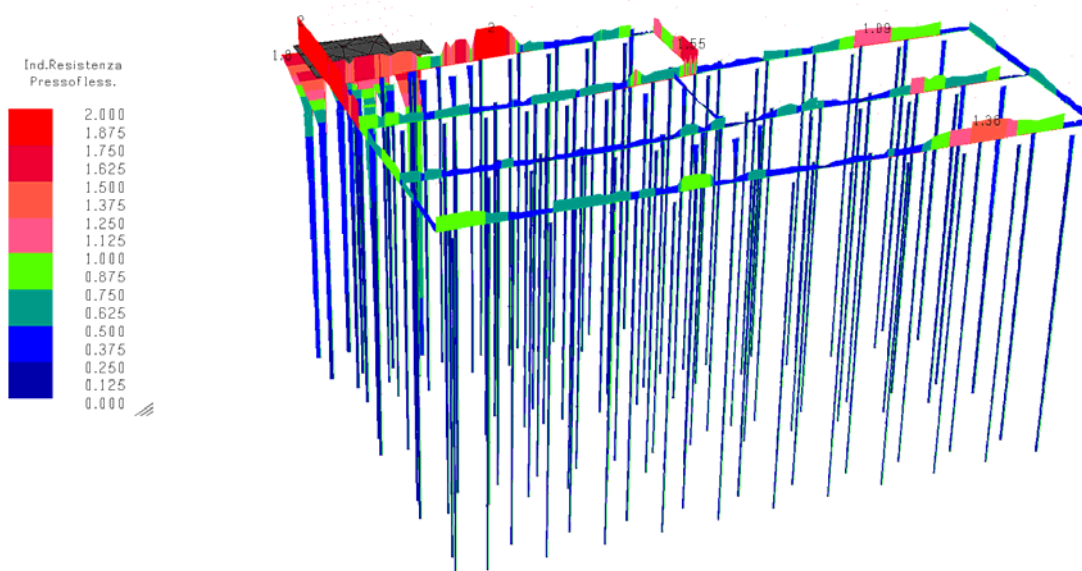
CORPO 1: armatura aggiuntiva orizzontale vano ascensore in c.a. rispetto alle armature esistenti: condizioni statiche slu



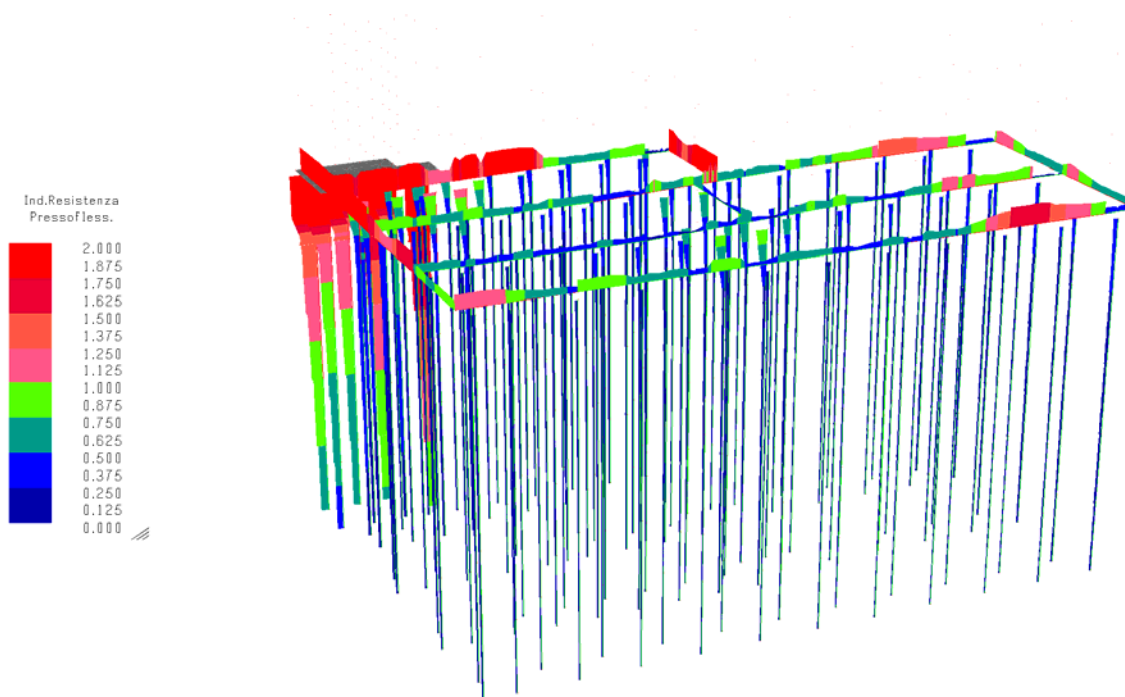
CORPO 1: armatura aggiuntiva verticale vano ascensore in c.a. rispetto alle armature esistenti: condizioni statiche slu



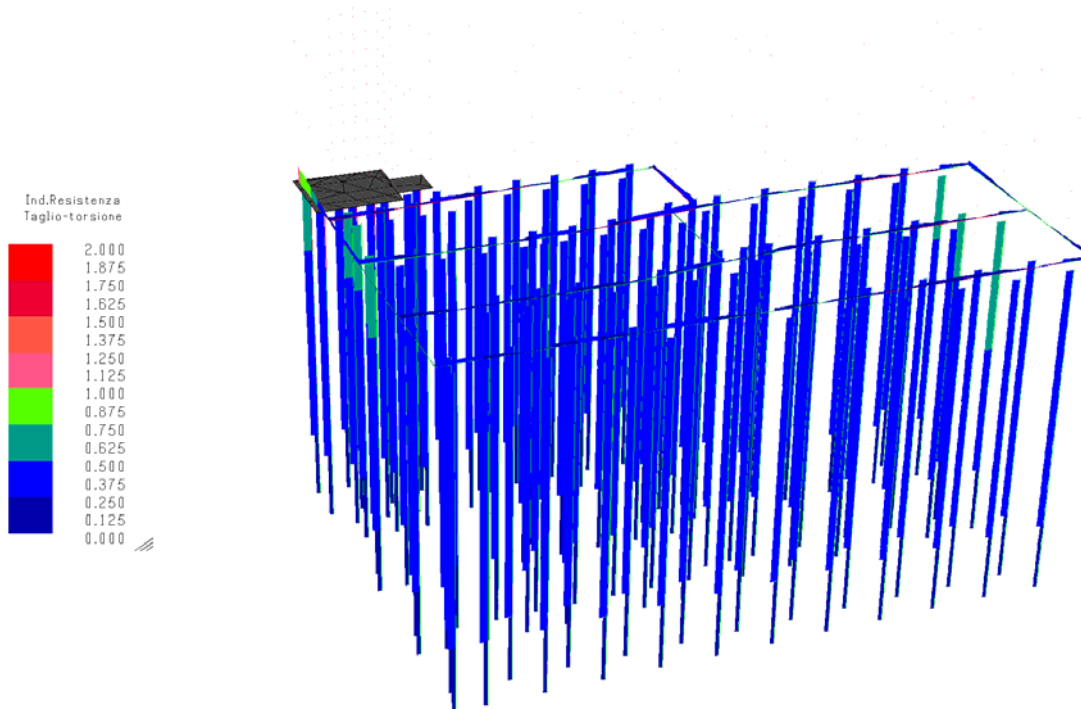
CORPO 1: indici di resistenza slv pressoflessione meccanismi duttili ($q=2.76$) analisi dinamica lineare
 T_R 949 anni: fondazione e pali



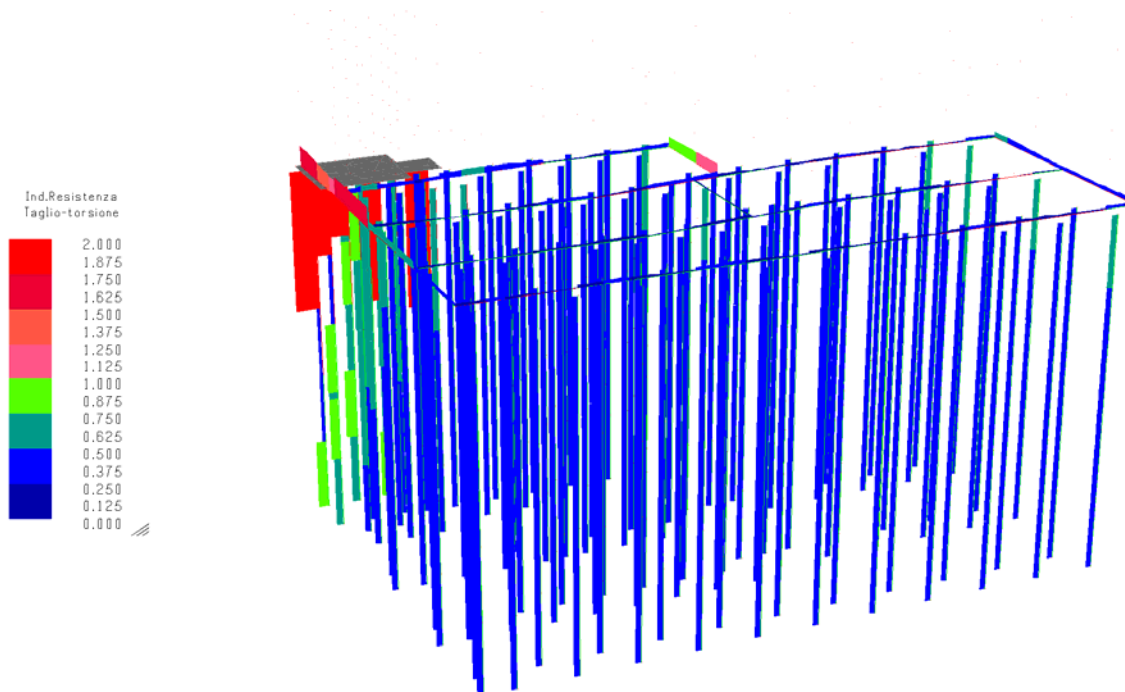
CORPO 1: indici di resistenza slv pressoflessione meccanismi fragili ($q=1.5$) analisi dinamica lineare
 T_R 949 anni: fondazione e pali



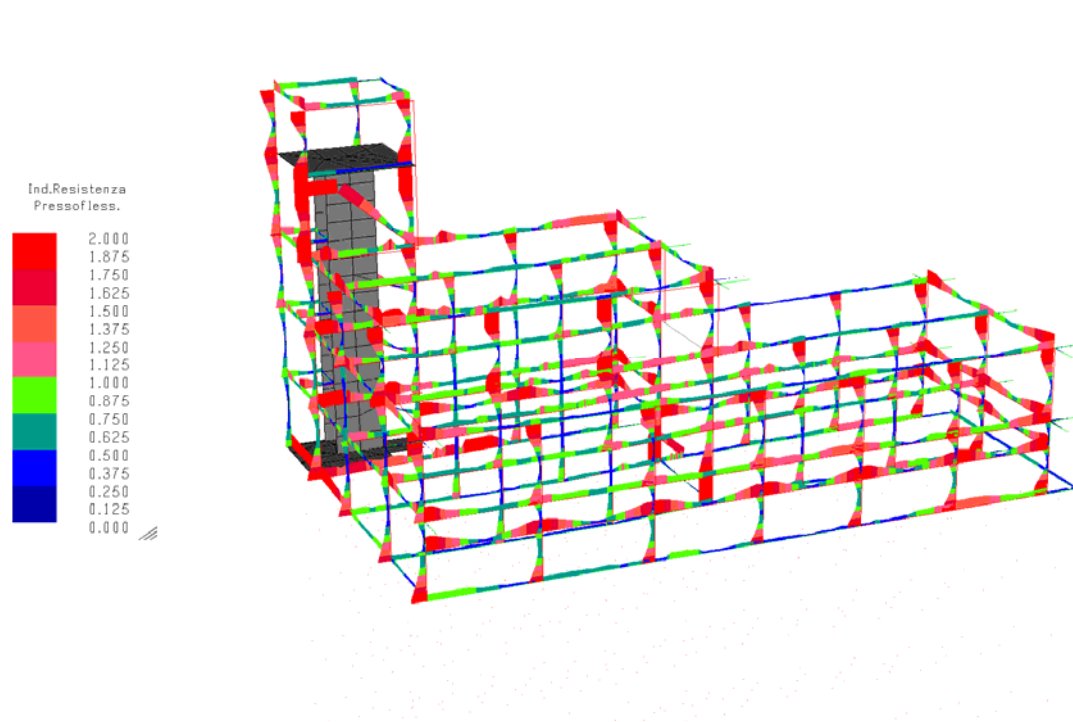
CORPO 1: indici di resistenza slv taglio-torsione meccanismi duttili ($q=2.76$) analisi dinamica lineare
 T_R 949 anni: fondazione e pali



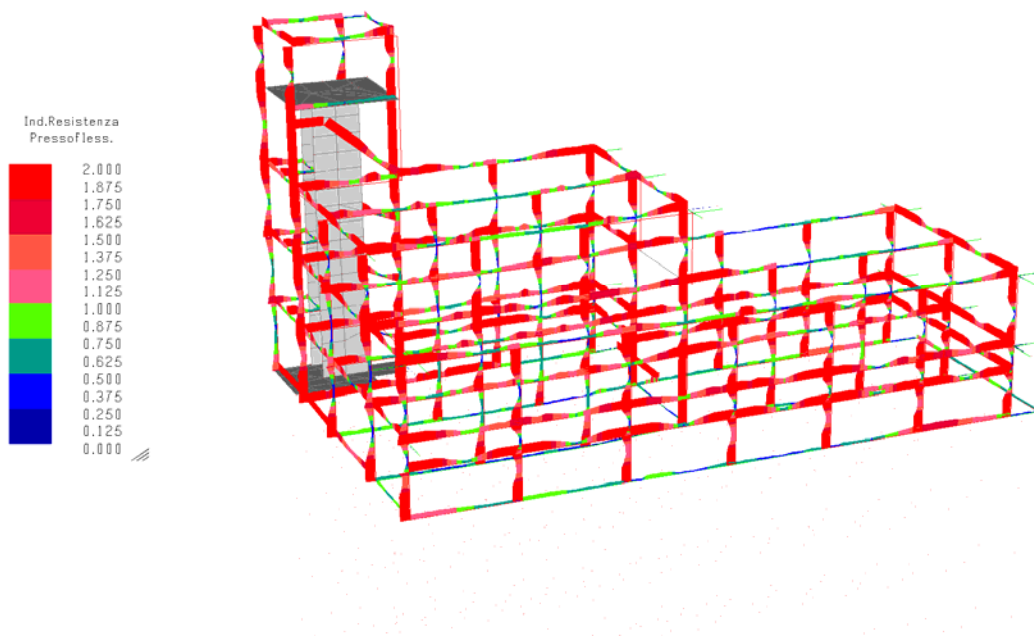
CORPO 1: indici di resistenza slv taglio-torsione meccanismi fragili ($q=1.5$) analisi dinamica lineare
 T_R 949 anni: fondazione e pali



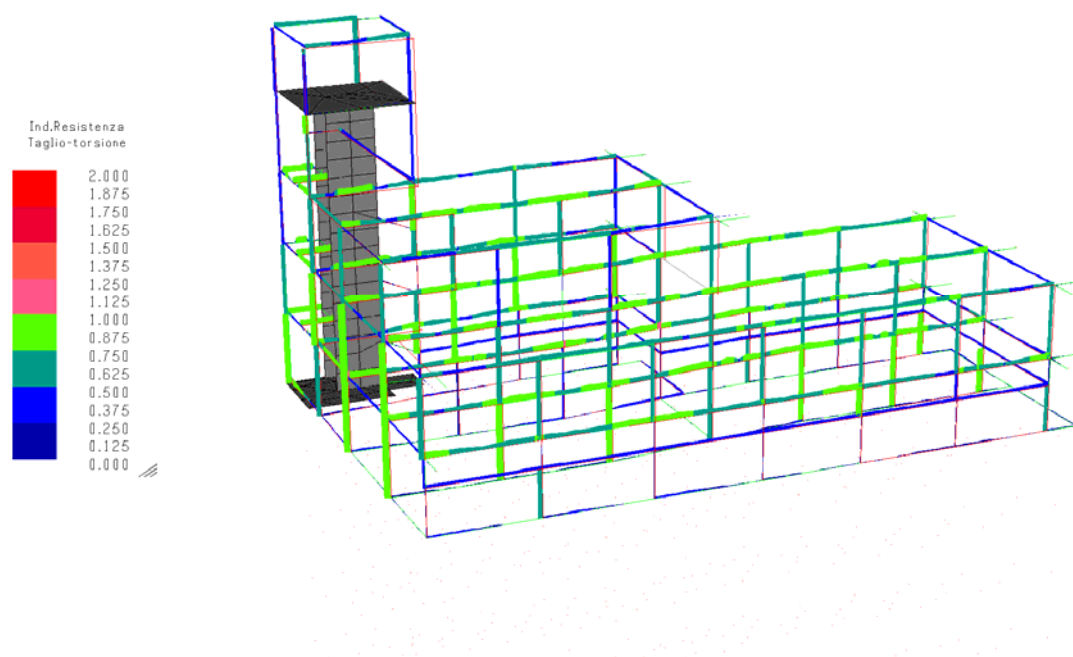
CORPO 1: indici di resistenza slv pressoflessione meccanismi duttili ($q=2.76$) analisi dinamica lineare
 T_R 949 anni: elevazione



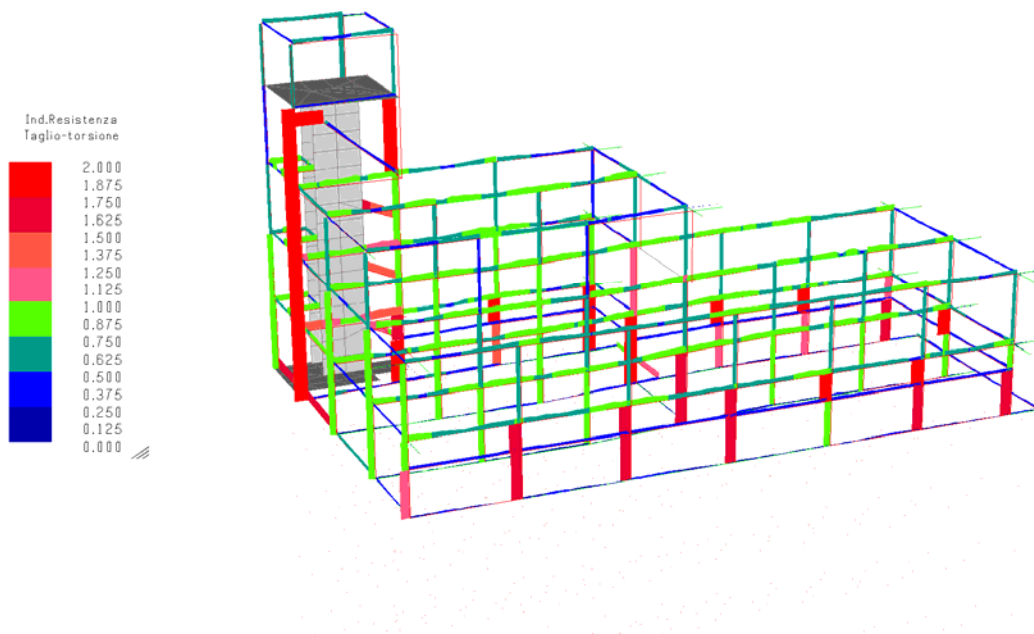
CORPO 1: indici di resistenza slv pressoflessione meccanismi fragili ($q=1.5$) analisi dinamica lineare
 T_R 949 anni: elevazione



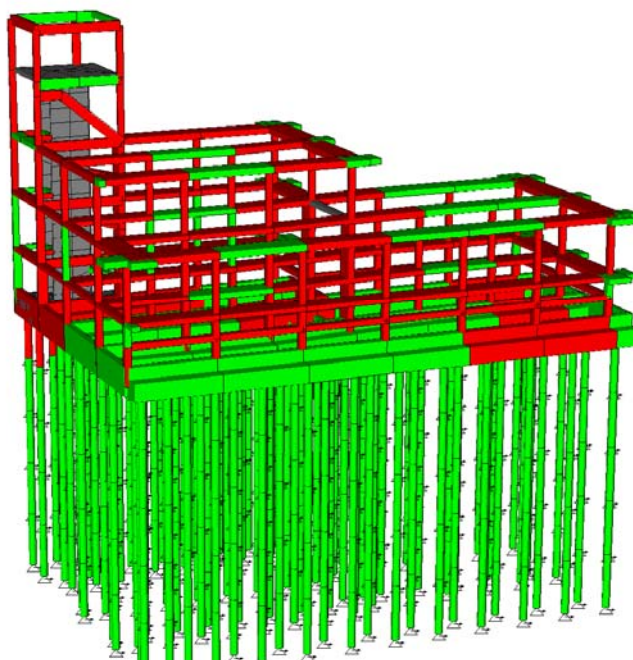
CORPO 1: indici di resistenza slv taglio-torsione meccanismi duttili ($q=2.76$) analisi dinamica lineare
 T_R 949 anni: elevazione



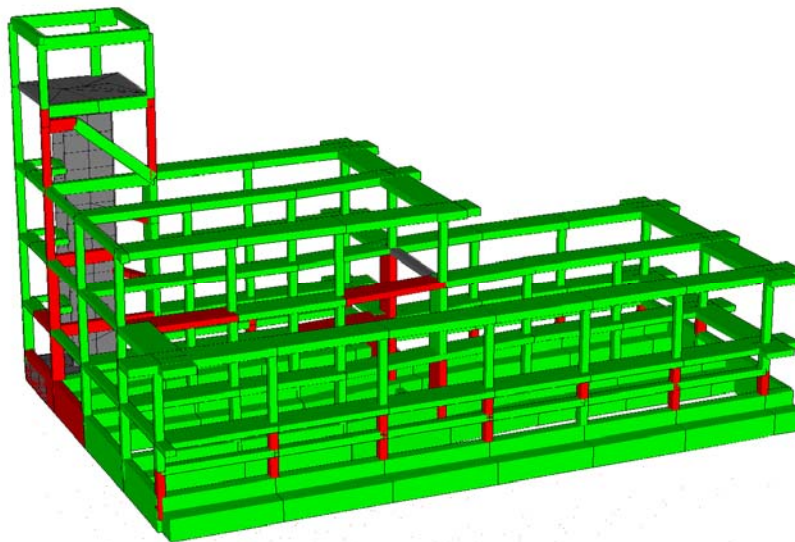
CORPO 1: indici di resistenza slv taglio-torsione meccanismi fragili ($q=1.5$) analisi dinamica lineare
 T_R 949 anni: elevazione



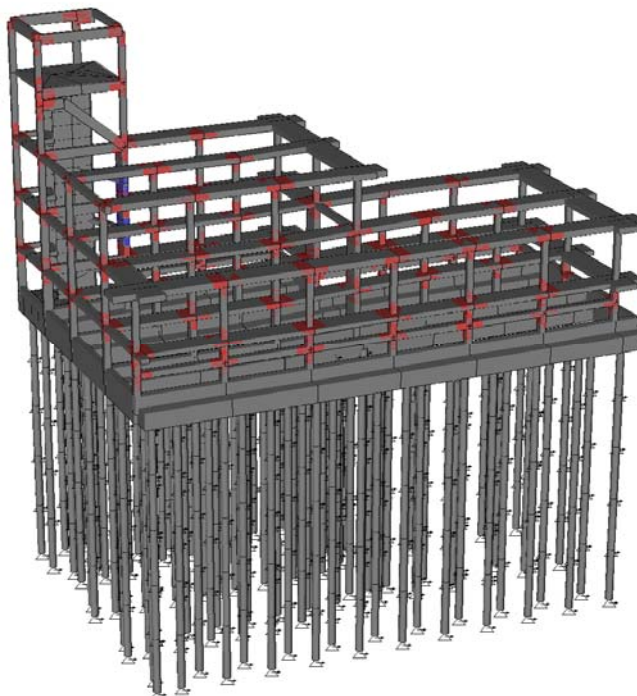
CORPO 1: elementi rossi non verificati ai meccanismi duttili ($q=2.76$) analisi dinamica lineare
 T_R 949 anni: elevazione



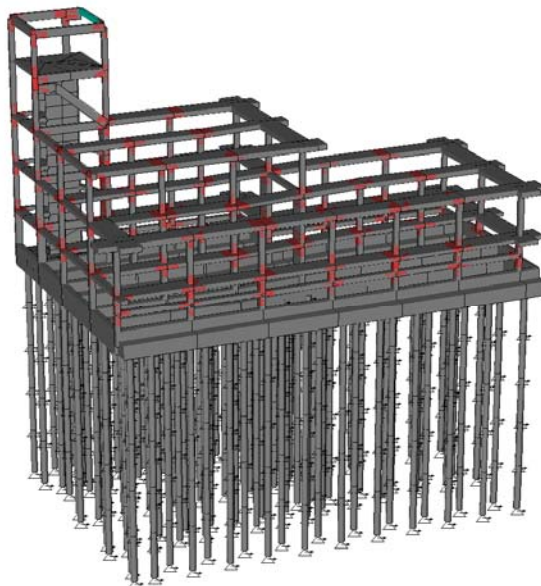
CORPO 1: elementi rossi non verificati ai meccanismi fragili ($q=1.5$) analisi dinamica lineare
 T_R 949 anni: elevazione



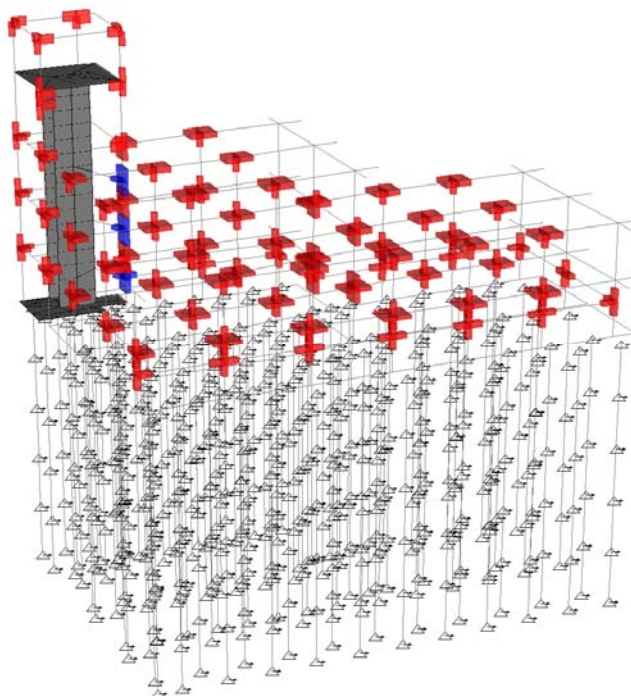
CORPO 1: nodi non verificati in rosso ($q=2.76$) modello tridimensionale T_R 949 anni



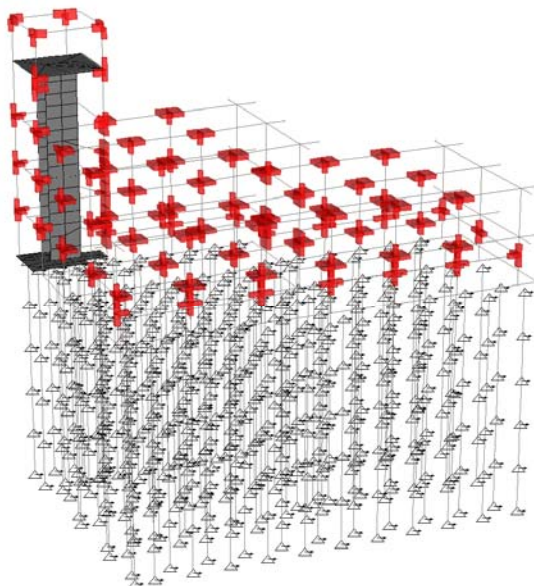
CORPO 1: nodi non verificati in rosso ($q=1.5$) modello tridimensionale T_R 949 anni



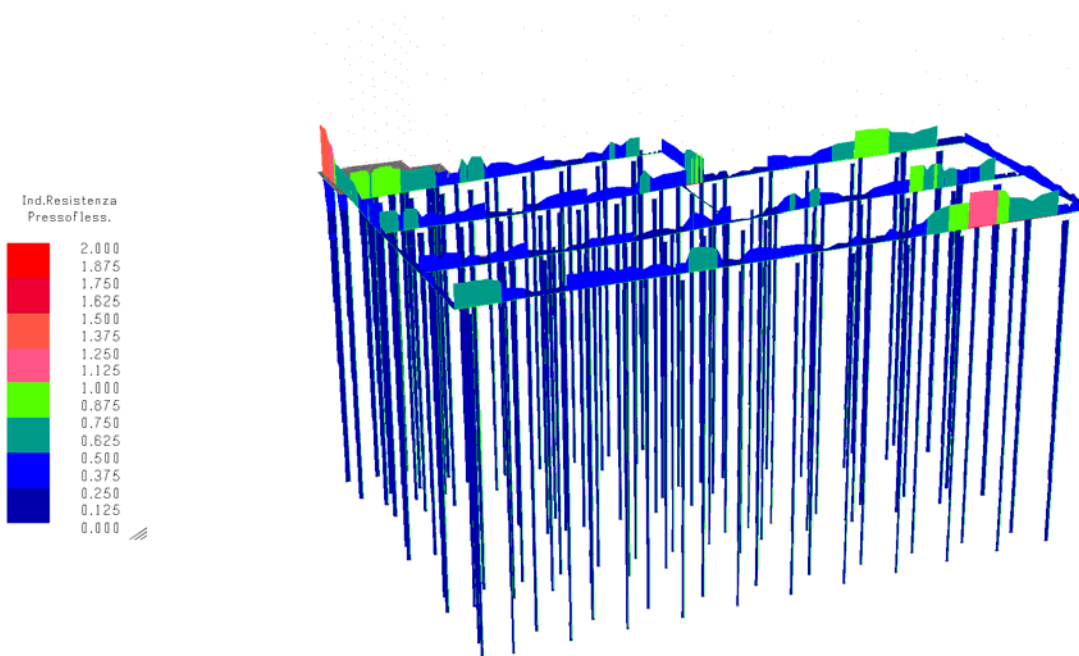
CORPO 1: nodi non verificati in rosso ($q=2.76$) schema unifilare T_R 949 anni



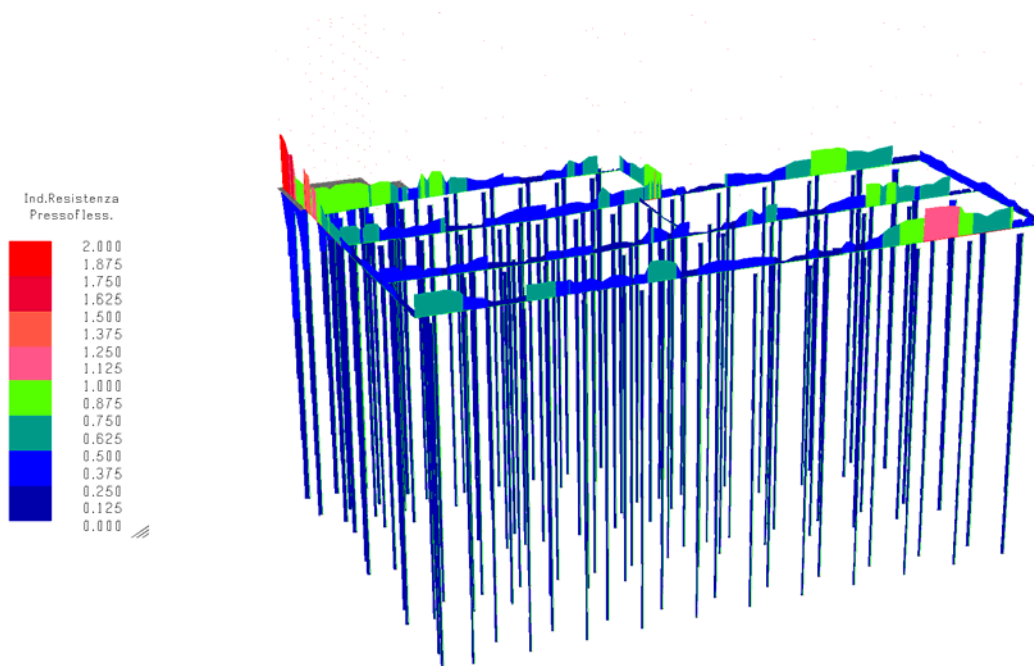
CORPO 1: nodi non verificati in rosso ($q=1.5$) schema unifilare T_R 949 anni



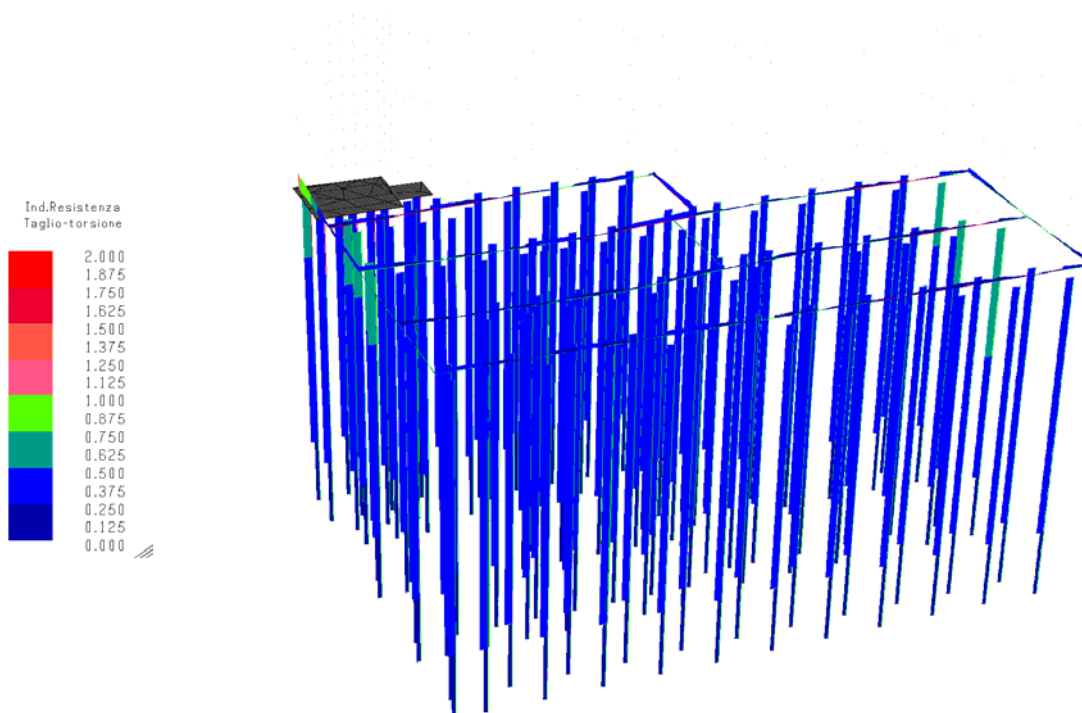
CORPO 1: indici di resistenza slv pressoflessione meccanismi duttili ($q=2.76$) analisi dinamica lineare
 T_R 30 anni: fondazione e pali



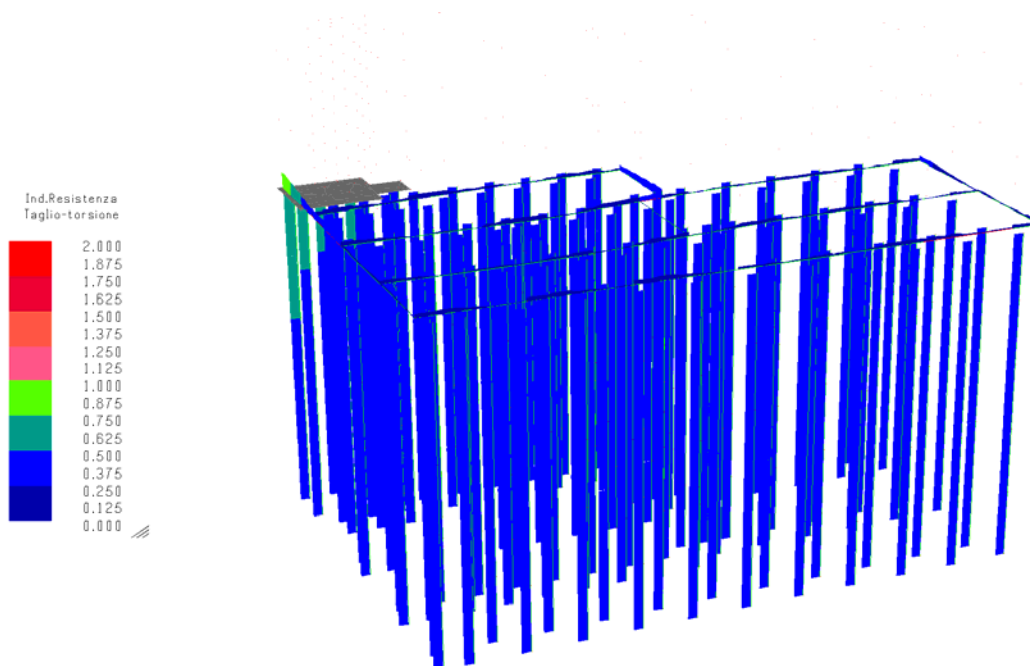
CORPO 1: indici di resistenza slv pressoflessione meccanismi fragili ($q=1.5$) analisi dinamica lineare
 T_R 30 anni: fondazione e pali



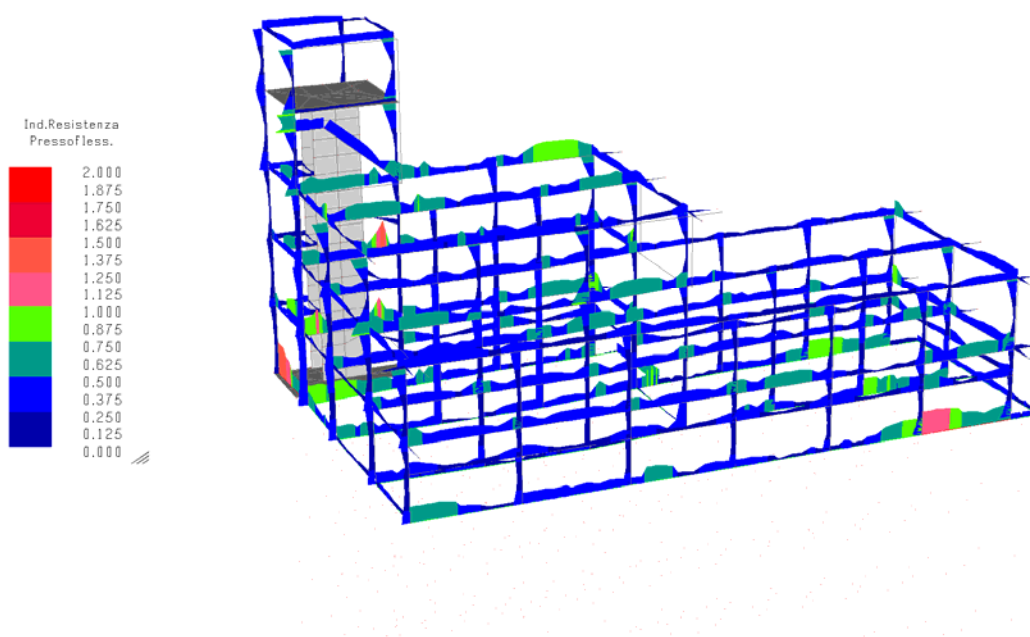
CORPO 1: indici di resistenza slv taglio-torsione meccanismi duttili ($q=2.76$) analisi dinamica lineare
 T_R 30 anni: fondazione e pali



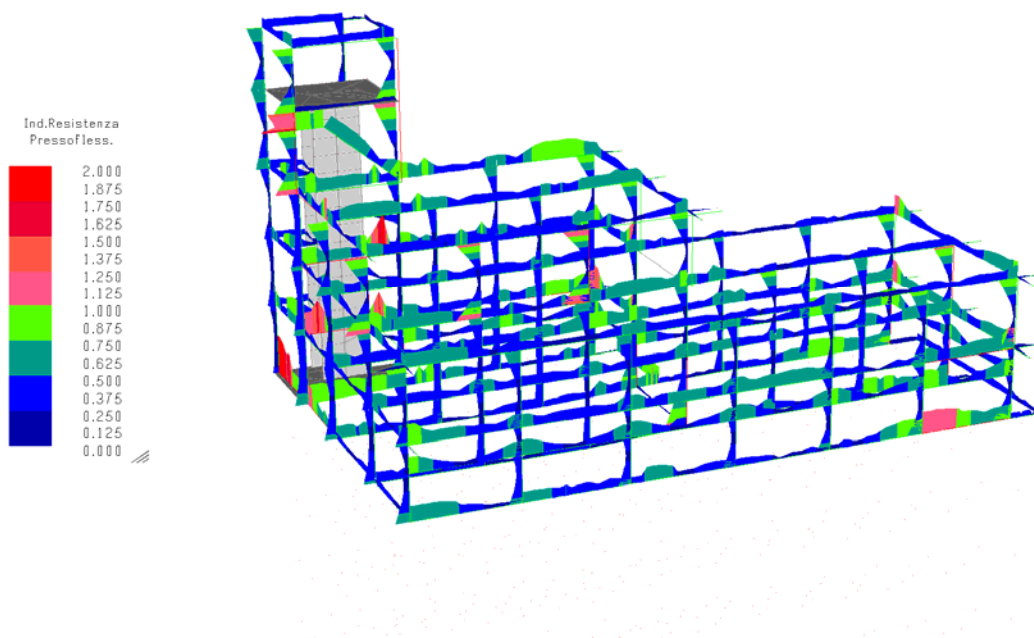
CORPO 1: indici di resistenza slv taglio-torsione meccanismi fragili ($q=1.5$) analisi dinamica lineare
 T_R 30 anni: fondazione e pali



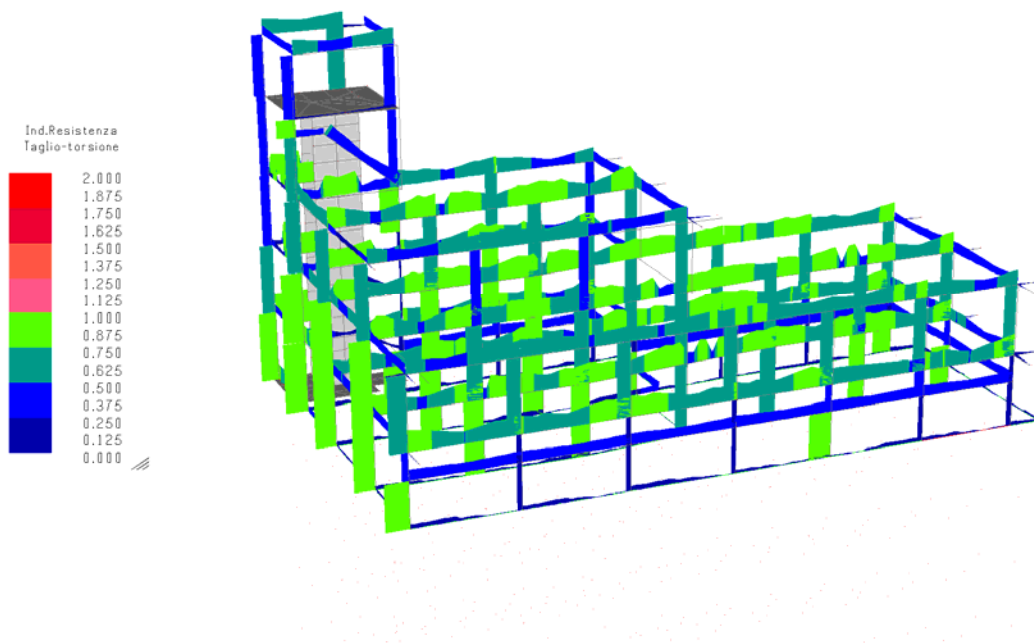
CORPO 1: indici di resistenza slv pressoflessione meccanismi duttili ($q=2.76$) analisi dinamica lineare
 T_R 30 anni: elevazione



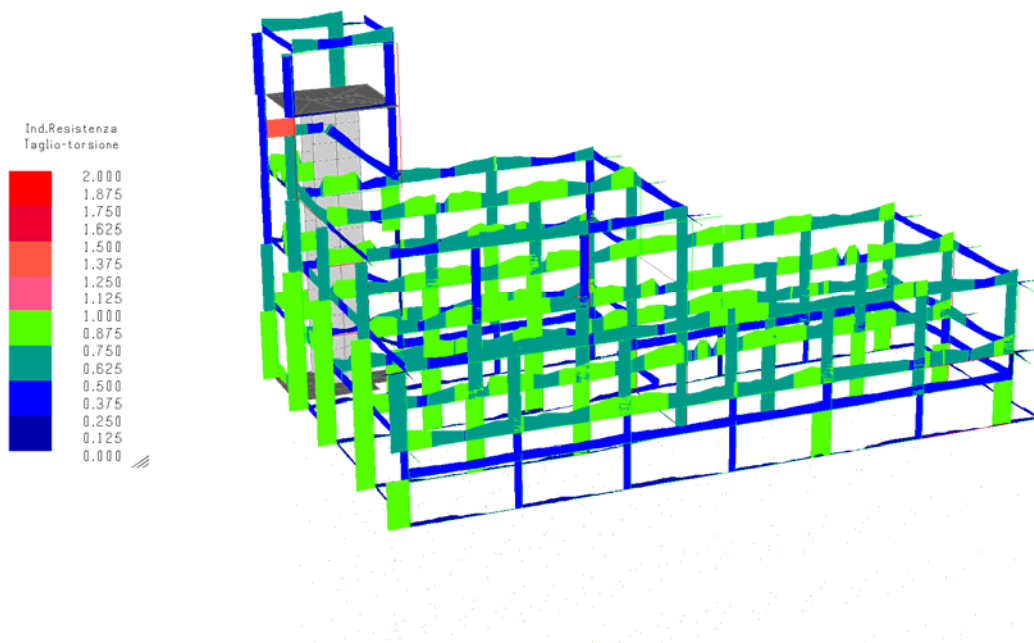
CORPO 1: indici di resistenza slv pressoflessione meccanismi fragili ($q=1.5$) analisi dinamica lineare
 T_R 30 anni: elevazione



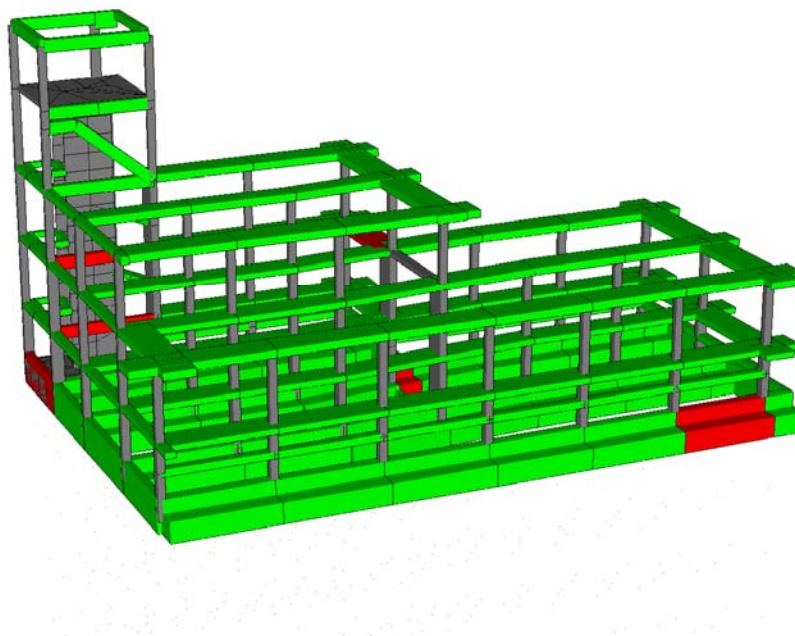
CORPO 1: indici di resistenza slv taglio-torsione meccanismi duttili ($q=2.76$) analisi dinamica lineare
 T_R 30 anni: elevazione



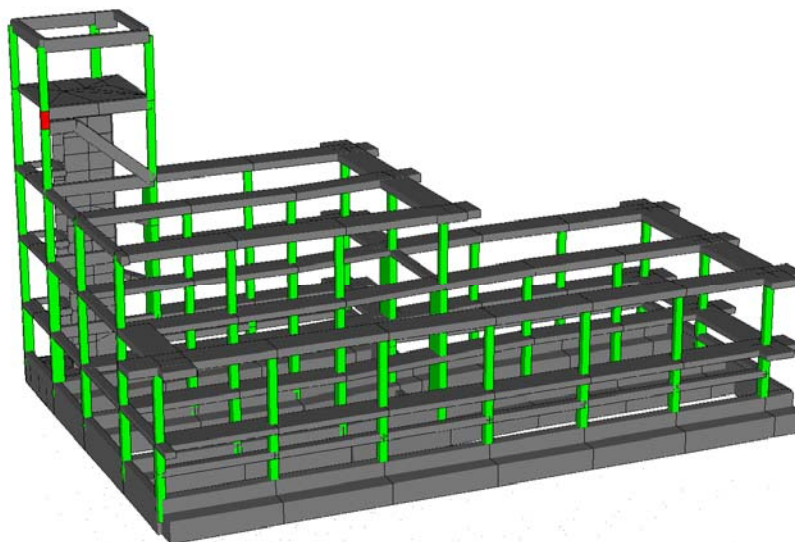
CORPO 1: indici di resistenza slv taglio-torsione meccanismi fragili ($q=1.5$) analisi dinamica lineare
 T_R 30 anni: elevazione



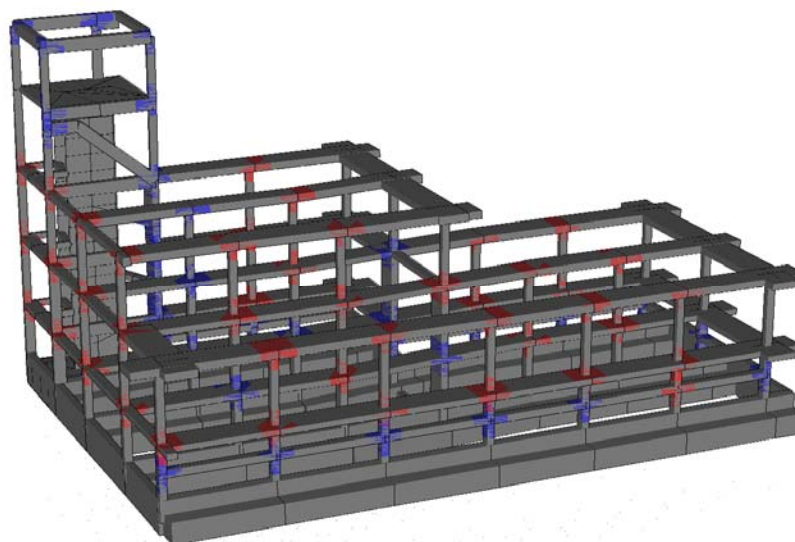
CORPO 1: elementi rossi non verificati ai meccanismi duttili ($q=2.76$) analisi dinamica lineare
 T_R 30 anni: elevazione



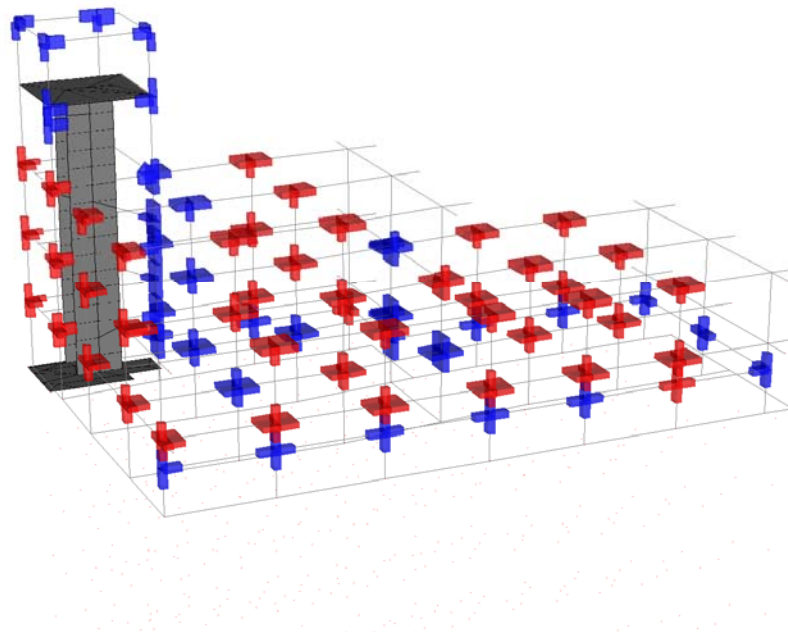
CORPO 1: elementi rossi non verificati ai meccanismi fragili ($q=1.5$) analisi dinamica lineare
 T_R 30 anni: elevazione



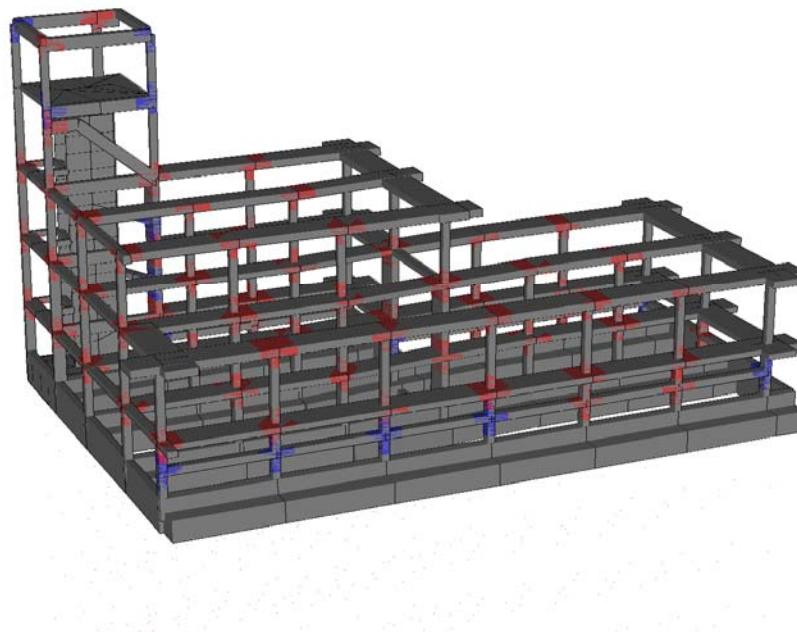
CORPO 1: nodi non verificati in rosso ($q=2.76$) modello tridimensionale T_R 30



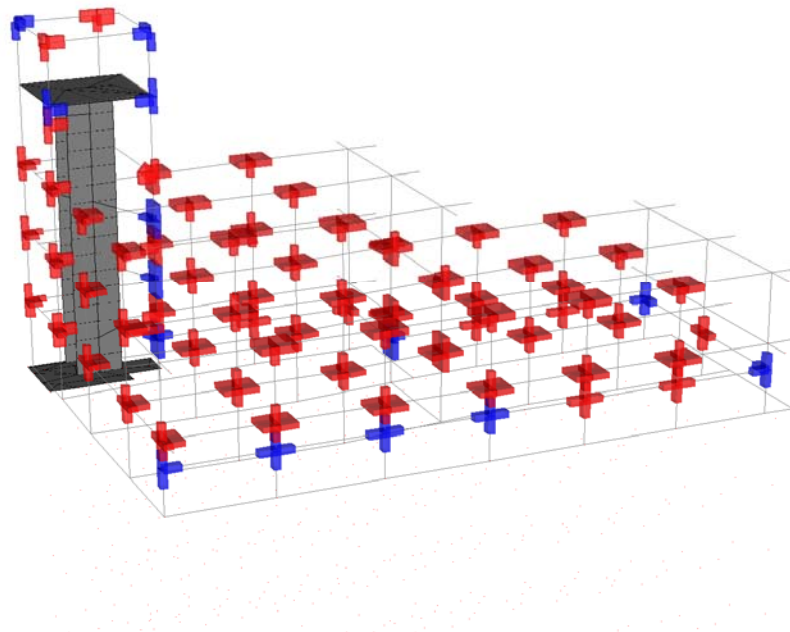
CORPO 1: nodi non verificati in rosso ($q=2.76$) schema unifilare T_R 30 anni



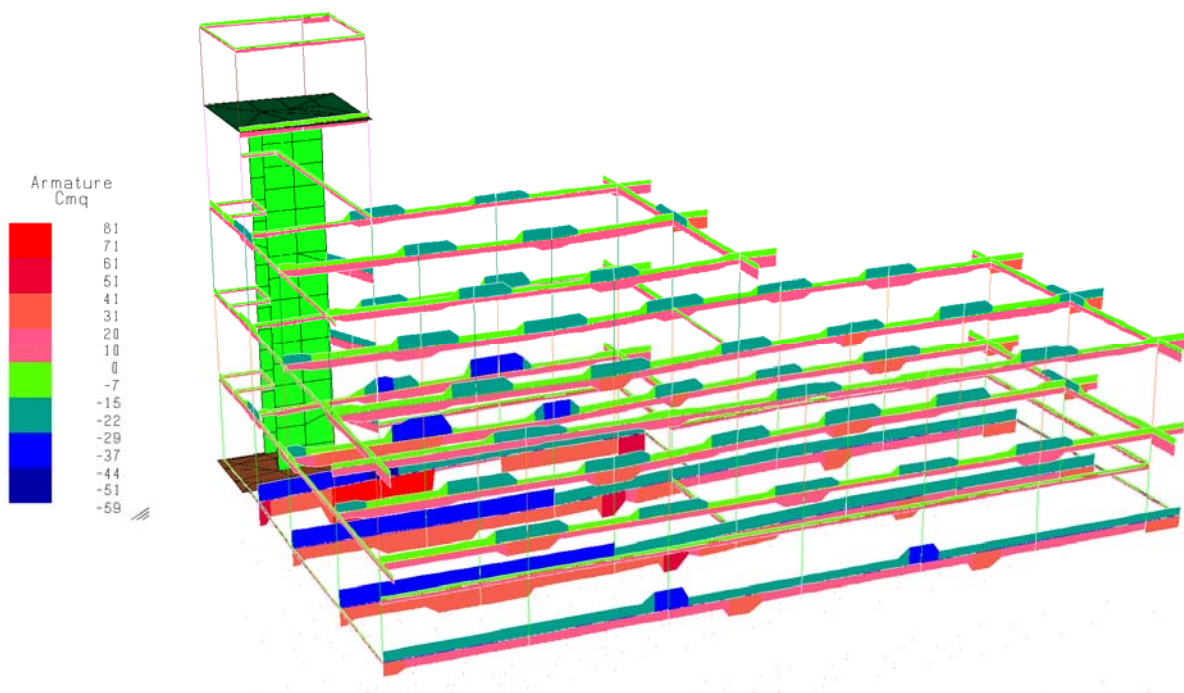
CORPO 1: nodi non verificati in rosso ($q=1.5$) modello tridimensionale T_R 30



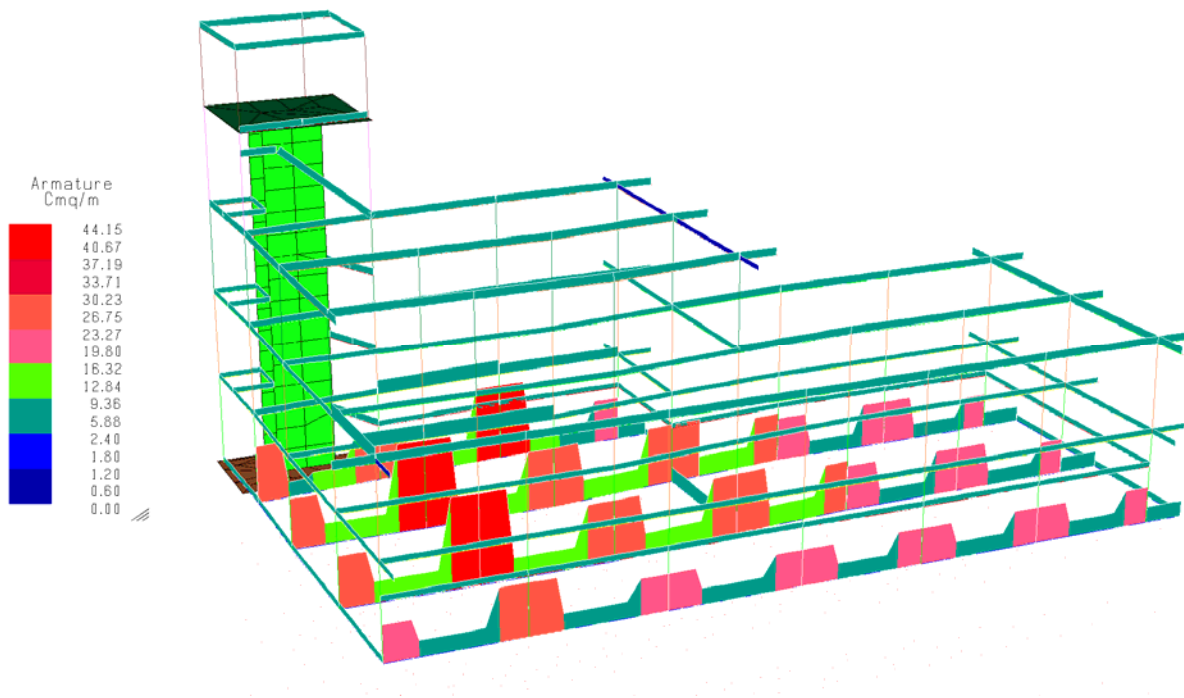
CORPO 1: nodi non verificati in rosso ($q=1.5$) schema unifilare T_R 30 anni



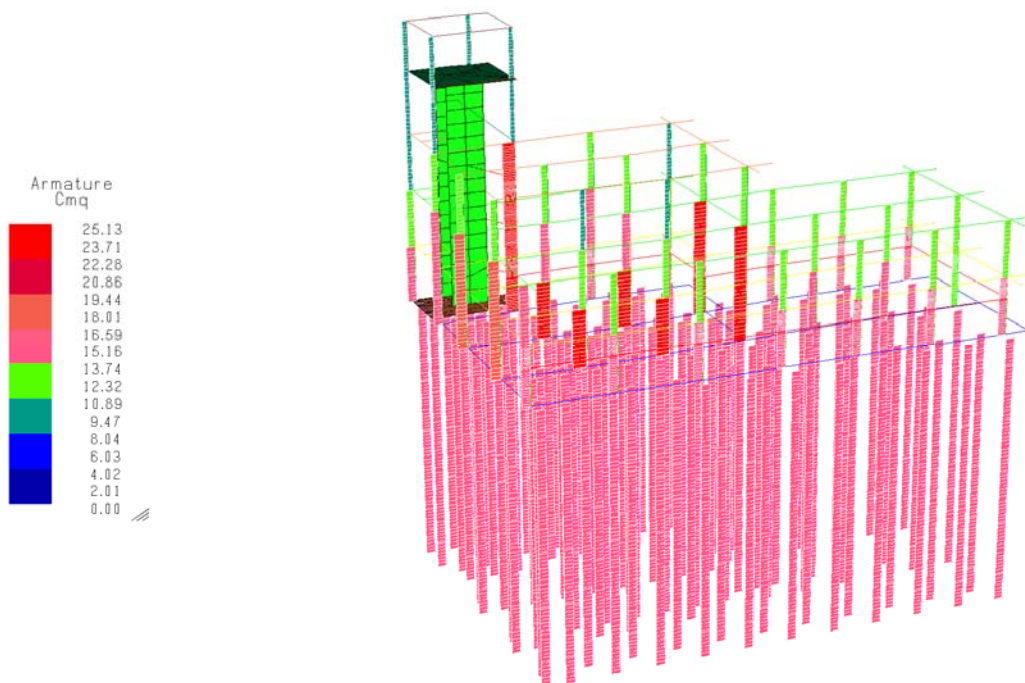
CORPO 1: armatura esistente inferiore e superiore travi in elevazione



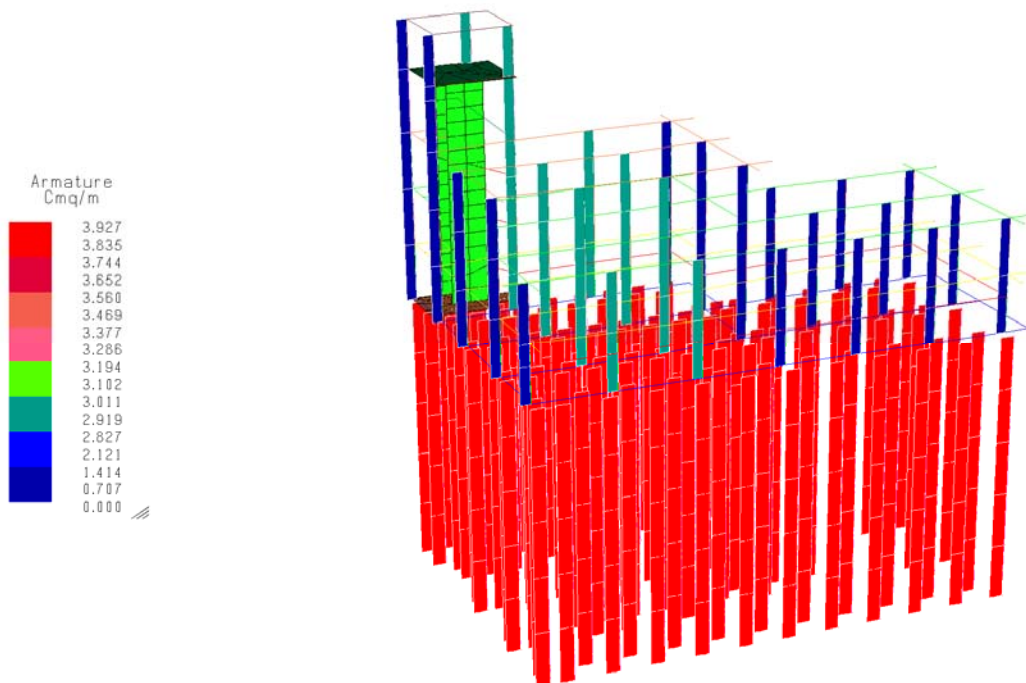
CORPO 1: armatura trasversale esistente travi in elevazione



CORPO 1: armatura longitudinale esistente pilastri e pali



CORPO 1: armatura trasversale esistente pilastri e pali



CORPO 1: valutazione del baricentro delle rigidezze e del baricentro delle masse

